

Письма в ЖЭТФ, том 20, вып. 8, стр. 544 – 548 20 октября 1974 г.

О ДИНАМИЧЕСКИХ РЕЖИМАХ ТУРБУЛЕНТНОСТИ ПЛАЗМЕННЫХ КОЛЕБАНИЙ

*А.Г.Литвак, В.Ю.Трахтенберг, Т.Н.Федосеева,
Г.М.Фрайман*

Аналитически и с помощью вычислений на ЭВМ показано, что стабилизация параметрической неустойчивости ленгмюровских колебаний в сильных высокочастотных полях может осуществляться в результате генерации сформированных пространственных гармоник поля неустойчивых колебаний.

В связи с проблемой конденсации ленгмюровских волн в области малых волновых векторов k в последнее время широко обсуждаются возможные режимы сильной ленгмюровской турбулентности [1 – 4], реализуемые при достаточно большом отношении плотности энергии волн W к плотности тепловой энергии плазмы

$$\frac{W}{NT_e} > (kr_D)^2 . \quad (1)$$

Здесь N , T_e , r_D – плотность, температура и дебаевский радиус электронов. В случае выполнения неравенства (1) появляется возможность нелинейного стока энергии ленгмюровской турбулентности в мелкие масштабы.

Можно представить два предельных режима сильной турбулентности. Во-первых турбулентность – как газ слабо взаимодействующих ленгмюровских солитонов (развитие этой идеи предпринято в [4]) и, во-вторых, – "динамическая" турбулентность. В последнем случае, который и исследуется ниже, перекачка энергии по спектру осуществляется за счет взаимодействия сфазированных пространственных гармоник поля. Система уравнений, описывающих такое взаимодействие, состоит из параболического уравнения для амплитуды поля плазменных колебаний $E(x, t) e^{i\omega_p t}$ и волнового уравнения для малых возмущений плотности плазмы.

В одномерном случае эта система при заданном в плазме внешнем однородном электрическом поле $E = E_0 \exp(i\omega_0 t)$ имеет вид

$$\begin{aligned} -2i \frac{\partial A_1}{\partial t} + \frac{\partial^2 A_1}{\partial x^2} - nA_1 &= nA_0 \exp\{i\Omega t\}, \\ \frac{1}{u^2} \frac{\partial^2 n}{\partial t^2} - \Gamma \frac{\partial^2 n}{\partial x^2} &= \frac{\partial^2 |A_1|^2}{\partial x^2} + A_0 \frac{\partial^2}{\partial x^2} \{A_1^0 e^{i\Omega t} + \text{к.с.}\}. \end{aligned} \quad (2)$$

Здесь введены безразмерные переменные $x_M = x(3r_D \sqrt{g})^{-1}$; $t_M = \frac{\omega_p t}{3g}$; $A_{1,0} = E_{1,0} (16\pi N T_e / 3g)^{-1/2}$; $n = 3g \frac{\delta n}{N_e}$; $g = \frac{T_e}{T_e + T_i} \frac{M}{m} u^2$,

T_e и T_i – температуры электронов и ионов, u – параметр подобия (безразмерная скорость звука), Γ – коэффициент, введенный для удобства вычислений ($\Gamma = 0,1$), $A_0 = \text{const}$, $\Omega = \omega_0 - \omega_p$. Система уравнений (2), вообще говоря, не консервативна за исключением случая нулевой расстройки $\Omega = 0$ и описывает как модифицированные распады, так и модуляционную неустойчивость в плазме. Уравнения (2) при $\Omega = 0$ соответствуют также и задаче с начальными условиями в отсутствие внешнего источника, если под A_1 понимать амплитуду плазменных колебаний за вычетом заданной в начальный момент однородной составляющей поля A_0 . Система (2) решалась на ЭВМ с периодическими краевыми условиями

$$\begin{aligned} E(x = -l) &= E(x = l); \quad \frac{\partial E}{\partial x}(x = -l) = \frac{\partial E}{\partial x}(x = l); \\ n(x = -l) &= n(x = l); \quad \frac{\partial n}{\partial x}(x = -l) = \frac{\partial n}{\partial x}(x = l). \end{aligned} \quad (3)$$

Численные эксперименты проводились при довольно широком наборе значений параметров и начальных условий задачи. Обсудим, в частности, решение задачи с начальными условиями в отсутствие внешнего источника ($\Omega = 0$). Начальное поле представлялось в виде суммы однородного высокочастотного поля относительно большой амплитуды A_0 и пространственно периодических кратных гармоник с малой энергией и произвольными начальными фазами. Типичные результаты решения приведены на рис. 1 – 3. Как видно из рис. 2, сначала имеет место фазировка взаимодействия и экспоненциальный рост гармоник,

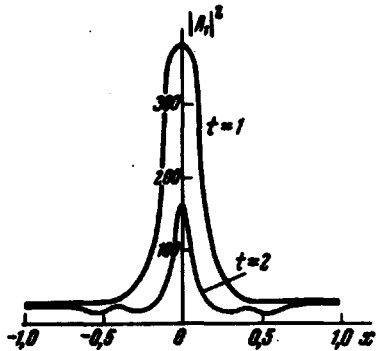


Рис. 1

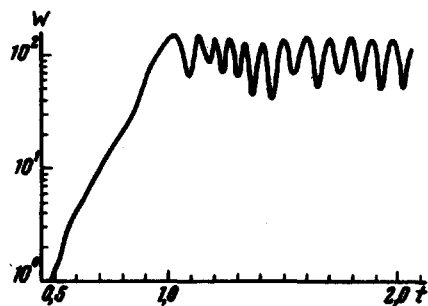


Рис. 2

соответствующий линейной стадии неустойчивости. Затем рост сменяется квазипериодическим сильно нелинейным режимом. При одной и той же начальной амплитуде однородного поля поведение суммарной плотности энергии (рис. 2) плазменных волн во времени слабо зависит от конкретного вида начальных условий. На фазе насыщения в динамическом режиме формируется универсальный средний по времени спектр пространственных масштабов плазменных волн $|A_k|^2 \sim k^{-2}$ (рис. 3) с резким обрезанием при некотором k_{max} , что аналогично результатам численных экспериментов [3].

Важные характеристики решения для случая начальной задачи¹⁾ могут быть найдены и аналитически, при использовании интегралов движения системы (2) ($\Omega = 0$)

$$J_1 = \int_{-l}^l |A_1 + A_0|^2 dx, \quad (4)$$

$$J_2 = \int_{-l}^l \left| \frac{\partial A_1}{\partial x} \right|^2 - n |A_1 + A_0|^2 + \frac{n^2}{2} + \frac{v^2}{2} dx, \quad (5)$$

$$\frac{\partial n}{\partial t} + \frac{\partial v}{\partial x} = 0.$$

¹⁾ Сюда же относится случай с отличной от нуля накачкой $A_0 \neq 0$ при нулевой отстройке $\Omega = 0$ в (2).

Первый интеграл позволяет оценить сверху среднюю плотность энергии возмущения ($\bar{W} = (1/2l) \int_{-l}^l |A_1|^2 dx$)

$$\bar{W} \lesssim 4 A_0^2. \quad (6)$$

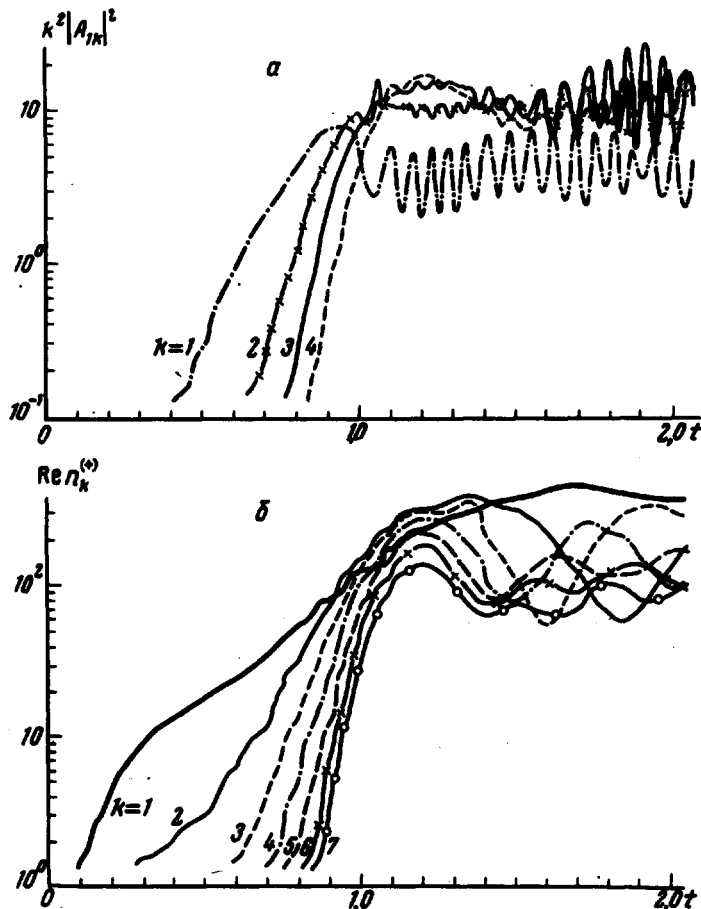


Рис. 3

Из второго можно получить строгую оценку для максимальной амплитуды поля колебаний

$$|A_1|_{max}^2 \lesssim 2A_0^4 l^2 \left[1 + O\left(\frac{1}{A_0^2 l}\right) \right]. \quad (7)$$

Из (6) и (7) значение максимального волнового числа в спектре ленгмюровских волн

$$\frac{k_{max}}{k_0} \sim \frac{l}{l_{min}} \sim \frac{A_0^2 l}{2} \quad (8)$$

Результаты численного счета по порядку величины согласуются с оценками (6) – (8) (см. рис. 2).

В случае, когда энергия J_1 полного поля не сохраняется, например, при параметрической неустойчивости в поле внешней волны с $\Omega \neq 0$, оценки (6) и (7) не справедливы. Однако численные расчеты (на конечном промежутке времени $t \sim 6u^2(M/m)(1/\omega_p)T_e/(T_e + T_i)$) свидетельствуют, что и здесь развитие неустойчивости происходит аналогично, т. е. на некоторой стадии источник как бы "отключается", и в дальнейшем распределение поля и плотность энергии волн осциллирует около средних величин.

В заключение отметим, что в случаях, когда процесс генерации сфа-зированных пространственных гармоник играет существенную роль, функция распределения электронов по скоростям должна при определенных условиях содержать группы быстрых частиц с кратными скоростями. Подобные группы частиц наблюдались в экспериментах по параметрической неустойчивости [5] и могут служить косвенным свидетельством правильности рассматриваемой динамической модели.

Научно-исследовательский
радиофизический институт

Поступила в редакцию
21 августа 1974 г.

Литература

- [1] В.Е.Захаров. ЖЭТФ, 62, 147, 1972.
 - [2] А.Г.Литвак, Г.М.Фрайман, А.Д.Юнаковский. Письма в ЖЭТФ, 19, 23, 1974.
 - [3] J. J. Thomson, R. J. Faehl, W. L. Kruer. Phys. Rev. Lett., 31, 918, 1973.
 - [4] Л.М.Дегтярев, В.Г.Маханьков, Л.И.Рудаков. Препринт №18, ИПМ АН, 1974г.
 - [5] Г.М.Батанов, К.А.Сарксян. Труды ФИАН, 73, 104, 1973.
-